

ผลของการจัดวางอีเล็กทรอนิกส์อย่างแท้จริงต่อการออบแห้งแบบใช้มาร้อนร่วมกับสนามไฟฟ้า

## **Effects of Multi – Electrode Layout on Hot-Air Drying Cooperating with Electric Fields**

ไซณรงค์ จักรพรรดินาท\*

นัชพงศ์ กรีวัชรินทร์

ធនការជាតិ

ชัยรุ่งฯ

ศุภโชค แซ่พ้า

ภาควิชาวิศวกรรมศาสตร์

อกະວິສາກຮມສາສ້າງ

มหาวิทยาลัยธรรมศาสตร์ ศูนย์รังสิต

คำขอถอนหลัง

จังหวัดปทุมธานี 12120

\*Email: cchainar@engr.tu.ac.th

บทคัดย่อ

อีเล็กโตรไอดร่าడีนา mikst (EHD) เทคนิคถูกใช้เพื่อเพิ่มการพากความร้อนบริเวณผิวหน้าของแพคเบดพอร์ช (Porous packed bed) บทความนึ่นคือขาผลของจำนวนอีเล็กโตรด ( $n$ ) และตัวแหน่งการติดตั้งถุงอีเล็กโตรดที่มีต่อประสิทธิภาพการอบแห้ง รวมถึงรูปแบบการไหหลังของลมร้อนภายใต้ส่วนไฟฟ้า ในการทดสอบกระแสไฟฟ้าแรงดันสูงถูกใช้ที่ 15 KV ผลจากการไหหลังแสดงให้เห็นว่ากระแสลมจะเกิดการหมุนวนเมื่อไหผ่านส่วนไฟฟ้า อีกทั้งลักษณะและตัวแหน่งการเกิดลมหมุนวนจะขึ้นกับตัวแหน่งการจัดวางแห้งอีเล็กโตรด นอกจากนี้ขนาดความแรงของลมหมุนถูกทำให้เพิ่มขึ้นโดยทั้งจากการเพิ่มจำนวน  $n$  และการลดระยะห่างระหว่างอีเล็กโตรดและการร้าด โดยลมหมุนเมื่อนาวดวงกว้างใหญ่ขึ้นเมื่อระยะห่างมากขึ้น การใช้ EHD ร่วมทำให้อัตราการถ่ายเทความร้อนและความชื้นที่ไหหลอกจากแพคเบดมีค่าสูงเพิ่มขึ้นอย่างมาก โดยเฉพาะอย่างยิ่งเมื่อการใช้อีเล็กโตรดหลายแห่งและระยะห่างน้อยมากๆ ทำให้บริเวณที่ผิวของแพคเบดอุณหภูมิสูงขึ้นอย่างรวดเร็ว สำหรับการอบแห้งแบบอัตโนมัติ วิธีนี้เป็นวิธีที่ได้รับความนิยมอย่างแพร่หลายในอุตสาหกรรมอาหารและยา

## Abstract

Electrohydrodynamic technique is used for enhancing the convective heat transfer on surface of porous packed bed. This paper investigates the effects of the number of electrodes ( $n$ ) and electrode layout on drying efficiency, as well as, flow under electric fields. In experiments, high electric voltage is applied at 15 kV. It is shown from flow visualization that circulation of flow depends on electrode layout. Additionally, the strength of circulating flow is increased by either increase of  $n$  or decrease of the spacing between electrode and ground wires. Size of circulating flow becomes larger when the spacing is wider. By cooperating with EHD, the rates of heat transfer and of moisture removal of packed bed are considerably increased. In particular, surface temperature of packed bed rapidly is increased by multi-electrode wires and small spacing.

**Keywords:** Hot-air drying, Electrohydrodynamics.

## 1. บทนำ

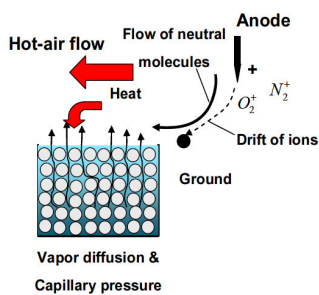
ด้วยวิถีทางการค้าที่มีความสุขในด้านพลังงานและเศรษฐกิจทำให้ประเทศต่างๆ ให้ความสนใจด้านการใช้พลังงานอย่างถูกต้องค่ามากที่สุด สำหรับประเทศไทย อาทิ สถาบันกรรมการรัฐที่เกี่ยวข้องกับการเงินและธุรกิจ การรักษาและปรับน้ำปูรุ่ง คุณภาพของผลิตภัณฑ์ เป็นสิ่งที่กำลังถูกหัวใจความสนใจอย่างมาก ด้วย เหตุผลนี้การพัฒนาธุรกิจการออมแห่งหนึ่งเป็นสิ่งมีความสำคัญอย่างมาก โดยเฉพาะอย่างยิ่งการปรับปรุงประสิทธิภาพของการออมแห่งนี้ ด้วยกลยุทธ์ ร้อนนี้ซึ่งใช้พลังงานแสงและระยะเวลาการออมแห่งหนึ่ง

Isobe และ คานะ [1] ศึกษาอีเล็กโตรไอดินา มิกส์สำหรับการอบแห้ง ณ อุณหภูมิบรรยายกาศที่ไม่มีลมพัด โดยติดตั้งอีเล็กโตรดักกันกราวด์แบบ point-to-plate กล่าวคืออีเล็กโตรดักกัน 1 แท่งติดตั้ง

อยู่เหนือนอกแผ่นจานกราร์ดอลูมิనั่ม และรายงานว่าการอบแห้งโดยใช้  
สารเคมีไฟฟ้าแรงดันสูงไม่เป็นกระบวนการให้ความร้อนแก่สุดต่ำทำให้  
อัตราการอบแห้ง agar gel เร็วขึ้นเป็น 3 เท่าของการอบแบบปกติที่  
ควบคุมอุณหภูมิ และอัตราการอบแห้งแปรผันตามความแข็งแกร่งของ  
สารเคมีไฟฟ้าที่ใช้ แต่แปรผกผันกับระยะห่างระหว่างแท่งอีเล็กโทรดกับ  
แผ่นอลูมินั่ม

Cao และ คานะ [2] ใช้ตู้อบที่สามารถควบคุมอุณหภูมิและติดตั้งอีเล็กโทรดกับกราวด์แบบ Multi-point-to-plate โดยอีเล็กโทรดทองแดงจำนวน 16 แท่งติดตั้งอยู่เหนือหน่อยเมื่อผ่านกราวด์สแตนเลส ผลทดลองพบว่า อัตราการรอบแห้งข้าวเปลือกเพิ่มขึ้นตามขนาดของสนามไฟฟ้าที่เพิ่มขึ้นและตามระยะห่างระหว่างอีเล็กโทรดและกราวด์ที่น้อยลง

Lai และ Sharma [3] วางแพคเบดที่ใส่น้ำและลูกแก้วขนาดหนึ่งในอุโมงค์ลมและติดตั้งอีเล็กโตรดกับกราวด์แบบ Multi-point-to-plate โดยอีเล็กโตรดนิเกล (Nickel) จำนวน 3 แห่งติดตั้งในแนวตั้งจากกับการไหลของลมและวางแผนเรียงกันในลักษณะเป็นรูปสามเหลี่ยมด้านเท่า เนื่องจากความเรียงกันทำให้เกิดการแพร่กระจายของอนุภาคในแพคเบด ผลทดลองรายงานว่า อัตราการอบแห้งขึ้นกับความแข็งแกร่งของสนานาไฟฟ้าและความเร็วของลมที่ไหลในทิศทางสนานาไฟฟ้า เมื่อไม่มีลมอัตราการอบแห้งแห้ง เป็นเส้นตรงกับขนาดของสนานาไฟฟ้า



รูปที่ 1 กลไกการเพิ่มการอบแห้งด้วยสนานาไฟฟ้า [4]

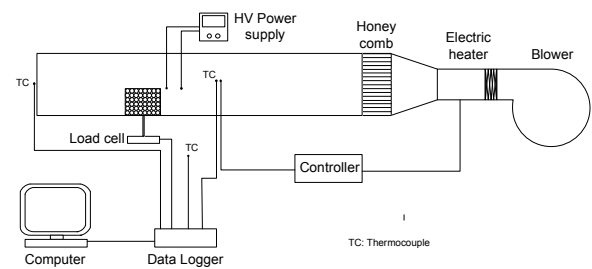
Chakranond และ Rattanadecho [4] ทำการศึกษาการเพิ่มประสิทธิภาพการอบแห้งแบบใช้ลมร้อนร่วมกับสนานาไฟฟ้าในแพคเบด ที่มีความพรุนสูงค่า ( $\epsilon$  ซึ่งมีเม็ดแก้วขนาดใหญ่และชั้นที่มีเม็ดแก้วขนาดเล็ก) โดยติดตั้งอีเล็กโตรดของแตง 4 แห่งในตั้งจากกับการไหล และเส้นลวดกราวด์ท้องแห้งติดตั้งอยู่เหนือแพคเบดดังรูปที่ 1 ภาพถ่ายที่ได้จากการถ่ายภาพเดินทางที่ตั้งของเม็ดแก้วขนาดเล็กจะเกิดลมหมุนรอบๆ ลวดกราวด์และเป็นเหตุให้ค่าสมประสิทธิ์การพาความร้อนและการถ่ายเทความร้อนบริเวณผิวน้ำของแพคเบดเพิ่มขึ้นอย่างมาก ผลของการจัดเรียงความพรุนที่ต่างกันทำให้เกิดความดันแคปิลารี่ (Capillary pressure) ที่แตกต่างกัน ส่งผลทำให้อัตราการระเหยของน้ำของการจัดเรียงแบบที่ชั้นเม็ดแก้วขนาดเล็กอยู่ด้านบนเร็วกว่าการจัดเรียงแบบที่ชั้นเม็ดแก้วขนาดใหญ่อยู่ด้านบน

ในงานวิจัยนี้ได้ทำการศึกษาต่อจากงานวิจัยของ Chakranond และ Rattanadecho [4] โดยศึกษาผลของการจัดเรียงแห้งอีเล็กโตรด และจำนวนแห้งอีเล็กโตรดที่มีต่อการถ่ายเทมวลและความร้อนในวัสดุที่มีค่าความพรุนค่าหนึ่งๆ

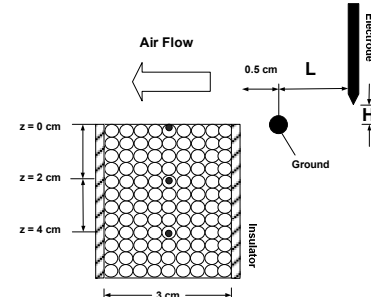
## 2. วิธีการทดลอง

แผนภาพชุดทดสอบแสดงดังรูปที่ 1 ในการทดลองวัสดุพูนลูกแก้วโดยแพคเบดซึ่งติดตั้งอยู่ภายในอุโมงค์ลมขนาดหน้าตัด  $15 \text{ cm} \times 15 \text{ cm}$  ลมร้อนก่อนเข้าหน้าตัดทดสอบลูกควบคุมอุณหภูมิที่  $60^\circ\text{C}$  และความเร็วลมที่  $0.35 \text{ m/s}$  กล่องแพคเบดมีขนาด  $3 \text{ cm}$  (กว้าง)  $\times 12 \text{ cm}$  (ยาว)  $\times 6 \text{ cm}$  (สูง) ทำจากแผ่นอะคริลิก (Acrylic plate) ผิวภายในออกฤทธิ์ด้วยฉนวนยางกันความร้อน ยกเว้นที่ผิวน้ำเปิดสู่ลมร้อน ภายในประกอบด้วยน้ำและเม็ดแก้ว (Glass bead) ขนาดเส้นผ่านศูนย์กลาง  $0.125 \text{ mm}$  (ค่าความพรุน,  $\phi \sim 0.385$ ) และค่าความอิมตัวคูณ  $0.125 \text{ mm}$  (ค่าความพรุน,  $\phi \sim 0.385$ ) และค่าความอิมตัวคูณ

เริ่มต้น (Initial saturation) ของแพคเบดมีค่า  $s = 0.5$  ดังแสดงในรูปที่ 2 อุณหภูมิภายในแพคเบดถูกวัดด้วยเวลาไฟเบอร์อปติก (Luxtron Fluroptic Thermometer, Model 790, Santa Clara, Canada, accurate to  $\pm 0.5^\circ\text{C}$ ) จำนวน 3 เส้น ซึ่งติดตั้งที่ระยะ ( $z$ ) เท่ากับ 0, 2, และ  $4 \text{ cm}$  (วัดจากผิวน้ำด้านบนลีกลงไปในแพคเบด) ค่าหนันกของแพคเบดที่  $\eta$  เวลาต่างๆ ถูกวัดโดยโหลดเซล (Load cell) และเครื่องกำเนิดไฟฟ้าแรงดันสูง (Glassman, Model MJ30N400) ถูกใช้สร้างแรงดันทดสอบที่  $15 \text{ kV}$  และกำหนดให้กราวด์อยู่ที่ตำแหน่งที่  $L$  และ  $H$  เท่ากับศูนย์



รูปที่ 2 แผนภาพชุดทดสอบ



รูปที่ 3 ตำแหน่งอีเล็กโตรดและแพคเบด

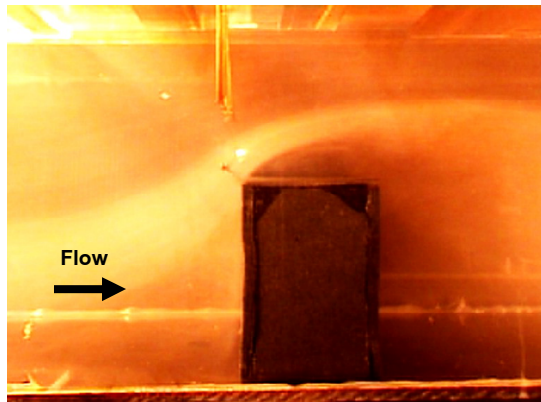
## 3. ผลการทดลอง

### 3.1 ผลของสนานาไฟฟ้าที่มีต่อการไหลของลม

เพื่อสังเกตการไหลของลมภายใต้สนานาไฟฟ้างานวิจัยนี้ใช้ค่าวันธุปแสดงเส้นทางการไหลของลม และติดตั้งหลอดไฟแสงสว่างขนาด  $500 \text{ W}$  จำนวน 2 ดวงส่องในแนว 45 องศาต่อบุบbling และบันทึกภาพการไหลของลมโดยใช้กล้องดิจิตอลวีดีโอ (SONY DCR-PC 108/PC 109E) และความเร็วภาพเฉลี่ยประมาณ  $\sim 0.1 \text{ m/s}$

ในงานวิจัยนี้กำหนดให้ค่า  $L$  (cm) ที่เป็นค่าบวกเป็นระยะที่แห้งอีเล็กโตรดติดตั้งอยู่ด้านหน้าของลวดกราวด์ และกำหนดให้ค่า  $H$  (cm) เป็นระยะที่อีเล็กโตรดติดตั้งอยู่สูงกว่าตำแหน่งลวดกราวด์

เพื่อสังเกตลักษณะของลมที่ไหลผ่านแพคเบดและผลของสนานาไฟฟ้าที่มีต่อการไหลของลม ที่ผิวน้ำของแพคเบดถูกปิดด้วยแผ่นยาง เมื่อไม่ใช้สนานาไฟฟ้าดึงแสดงในรูปที่ 4 พบร่องรอยการไหลแยก (Flow separation) ที่ผิวน้ำของแพคเบด ซึ่งจะเป็นเหตุให้การถ่ายความร้อนจากลมร้อนสู่ผิวแพคเบดไม่ดี

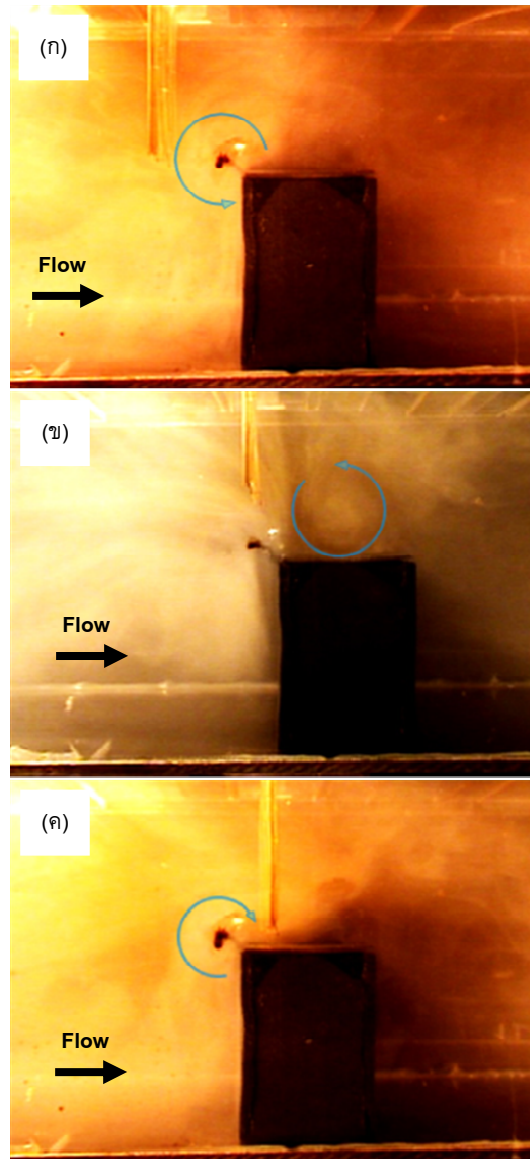


รูปที่ 4 ภาพการไหลของลมเมื่อไม่ใช้สนามไฟฟ้า

เมื่อสนามไฟฟ้าถูกใช้ดังแสดงในรูปที่ 5 ซึ่ง  $n = 4$  ลมหมุนที่เกิดขึ้นทำให้การไหลแยกมีขนาดความหนาลดลง นอกจากนี้ตำแหน่งการหมุนของลมเปลี่ยนแปลงตามตำแหน่งของอีเล็กโตรด ลมหมุนเกิดที่ด้านหน้าของแพคเบดเมื่อติดตั้งอีเล็กโตรดที่ด้านหน้าของลวดกราวด์ ( $L = 2, H = 0$ ) ดังแสดงในรูปที่ 5 (ก) และลมหมุนบ้ายตำแหน่งการเกิดไปที่ผิวน้ำของแพคเบดเมื่อติดตั้งอีเล็กโตรดติดตั้งแนวเดียวกับลวดกราวด์ ( $L = 0, H = 2$ ) แต่จากรูปที่ 5 (ค) แสดงให้เห็นว่าเมื่อติดตั้งอีเล็กโตรดที่ด้านหลังของลวดกราวด์พื้นที่บางส่วนของผิวน้ำของแพคเบดไม่ได้รับอิทธิพลจากการลมหมุนวนและการไหลแยกสามารถถูกสั้งเกต ได้อีกด้วย

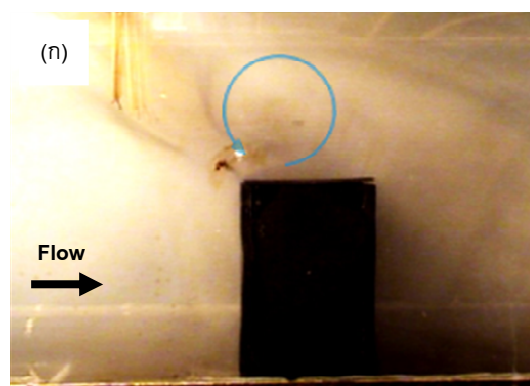
จากรูปที่ 6 พบร่วมกันของการหมุนจะลดลงเมื่อระยะห่าง  $L$  มีค่ามากขึ้นแต่เส้นผ่าศูนย์กลางการหมุนมีขนาดใหญ่ขึ้น ทั้งนี้ เพราะแรงคูลอมบ์ (Coulomb force) ที่เกิดจากสนามไฟฟ้ามีค่าน้อยลง โดยแรงคูลอมบ์แบรผันตามค่าสนามไฟฟ้า ( $\vec{F}_c = q\vec{E}$  ที่ซึ่ง  $q$  คือ ความแน่นของประจุไฟฟ้า) และขนาดของสนามไฟฟ้าผกผันกับระยะทางกำลังสอง ( $\|\vec{E}\| \propto R^{-2}$  ที่ซึ่ง  $R$  คือระยะห่างระหว่างอีเล็กโตรดและกราวด์) แรงคูลอมบ์ที่ลดลงส่งผลทำให้แรงที่เหนี่ยวแนกอากาศที่ไม่ถูกไอออกไนซ์หรือแรงเนื่องจากการไหลแบบเนื่อน (Shear flow) เพื่อกิดการหมุนวนมีขนาดน้อยลงตาม ตั้งนั้นความแรงของการหมุนวนจะมีค่าน้อยลงเมื่อระยะ  $L$  มีค่ามากขึ้น แต่หมุนด้วยวงที่กว้างขึ้นตามรัศมีความโค้งที่กว้างขึ้น

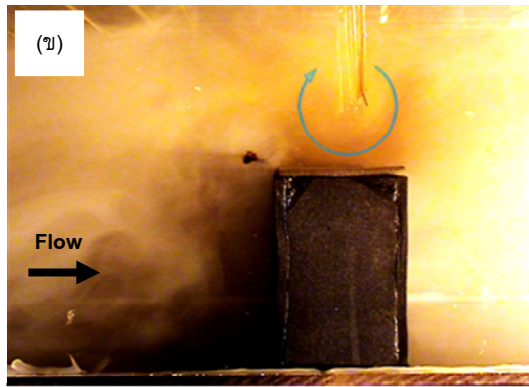
นอกจากนี้ยังสังเกตได้ว่าลมหมุนในรูปที่ 6 (ก) ซึ่ง  $L = 4$  มีทิศทางการหมุนที่ตรงข้ามกับการหมุนของลมในรูปที่ 6 (ข) ซึ่ง  $L = -4$  รวมถึงขนาดและความแรงของการหมุนมากกว่า รูปที่ 6 (ข) ทั้งนี้ เพราะในรูปที่ 6 (ก) แรงเนื่องจากสนามไฟฟ้าเคลื่อนที่ทิศทางเดียวกับทิศทางการไหลของอากาศ (Flow direction) ส่วนรูปที่ 6 (ข) และเนื่องจากสนามไฟฟ้าเคลื่อนที่สวนทิศทางกับการไหล ทำให้แรงเนื่องจากการไหลแบบเนื่อนมีค่าน้อยลง



รูปที่ 5 ภาพการไหลของลมภายใต้สนามไฟฟ้า (ก)  $L = 2, H = 0$

(ข)  $L = 2, H = 0$  (ค)  $L = -2, H = 0$





รูปที่ 6 ภาพการไหลของลมภายในได้สนาไฟฟ้าที่  $H = 2$

(ก)  $L = 4$  และ (ข)  $L = -4$

### 3.2 ผลของจำนวนแท่งอีเล็กโทรด ( $n$ ) ที่มีต่อการอบแห้ง

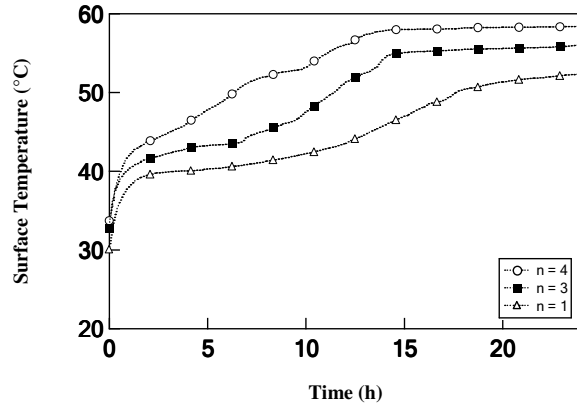
เมื่อจำนวนแท่งอีเล็กโทรด  $n$  มีค่ามากขึ้นแล้วทำให้การถ่ายเทความร้อนจากลมร้อนสู่แพคเบดดีขึ้น ดังเห็นได้จากรูปที่ 7 อุณหภูมิที่ผิวของแพคเบดมีค่าสูงเร็วขึ้น นอกจากนี้การเพิ่มจำนวนอีเล็กโทรดมากขึ้นมีผลทำให้การนำความชื้นออกจากแพคเบดดีขึ้น ดังเห็นได้จากรูปที่ 8 การสูญเสียความชื้นของแพคเบดมีค่าเพิ่มเร็วขึ้น

เมื่อจำนวนอีเล็กโทรดมีค่ามากขึ้นทำให้สนาไฟฟ้า ( $\bar{E}$ ) มีค่ามากขึ้นและกระจายตัวในบริเวณที่กว้างมากขึ้น ส่งผลทำให้แรงคลอมบ์มีขนาดมากขึ้นและมีการกระจายตัวที่มากขึ้นตาม ด้วยเหตุผลดังกล่าว นี้ทำให้อากาศที่อยู่รอบๆ มีการหมุนวนที่รุนแรงขึ้น ดังนั้นการระเหยของน้ำออกจากบริเวณผิวหน้าของแพคเบดได้เร็วขึ้นและการถ่ายเทความร้อนจากลมร้อนไปสู่แพคเบดดียิ่งขึ้น

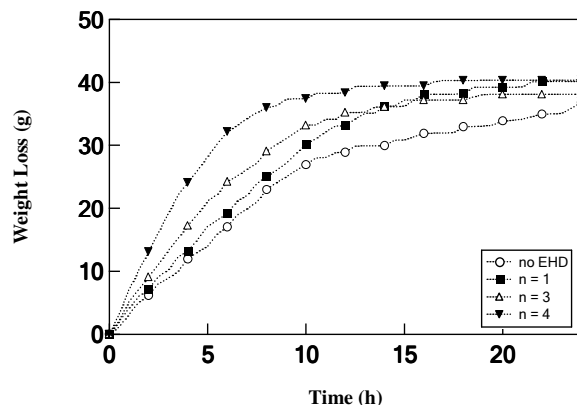
### 3.3 ผลของตำแหน่งของอีเล็กโทรดที่มีต่อการอบแห้ง

จากรูปที่ 9 พบว่าตำแหน่งของอีเล็กโทรดมีผลต่อการถ่ายเทมวลและความร้อนของแพคเบด โดยตำแหน่งที่ทำให้เกิดการถ่ายเทมวลและความร้อนที่สุดเกิดขึ้นเมื่อ  $L = 0$  และ  $H = 2$  ทั้งนี้ เพราะตำแหน่งนี้เป็นตำแหน่งที่อีเล็กโทรดและgravate coil ลักษณะมากที่สุด ดังนั้นแรงคลอมบ์มีค่ามากที่สุด และทำให้ความรุนแรงของการหมุนวนมีค่ามากที่สุด อีกทั้งตำแหน่งนี้ทำให้ลมหมุนเกิดขึ้นทั่วผิวหน้าของแพคเบด ดังแสดงในรูปที่ 5 (ก)

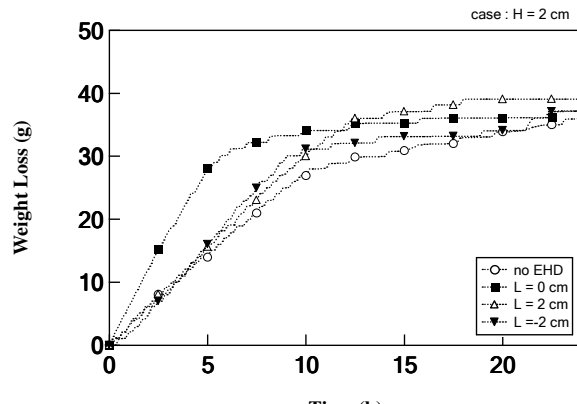
เมื่อเปรียบเทียบผลของการติดตั้งอีเล็กโทรดที่ด้านหน้าและที่ด้านหลังของลวดgravate พบว่า การติดตั้งอีเล็กโทรดที่ด้านหน้ามีผลทำให้อัตราการระเหยของความชื้นออกจากแพคเบดสูงกว่าการติดตั้งที่ด้านหลังประมาณ 1.3 เท่า (พิจารณาในช่วงอัตราคงที่ของการอบแห้ง) ดังแสดงในรูปที่ 10 ดังที่ได้กล่าวมาข้างต้นการติดตั้งอีเล็กโทรดที่ด้านหลังของลวดgravate มีผลทำให้แรงนีองจากสนาไฟฟ้าเคลื่อนที่ส่วนทากับทศของกราฟฟิล ส่งผลทำให้แรงนีองจากการไห้เลนเนื่องมีค่าน้อยลง (การหมุนเวียนดีและความรุนแรงน้อยลง) และนอกจากนี้ในรูปที่ 6 แสดงให้เห็นว่าการหมุนวนเกิดขึ้นเพียงบางส่วนของผิวหน้าของแพคเบด



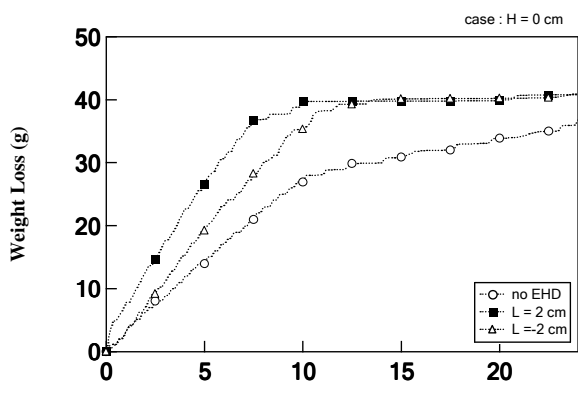
รูปที่ 7 การเปรียบเทียบอุณหภูมิที่ผิวของแพคเบดที่สภาวะต่างๆ



รูปที่ 8 การเปรียบเทียบปริมาณความชื้นที่ระเหยออกจากแพคเบดที่สภาวะต่างๆ ที่อีเล็กโทรดจำนวนต่างๆ



รูปที่ 9 เปรียบเทียบปริมาณความชื้นที่ระเหยออกจากแพคเบดเมื่อ  $H = 2$  ที่ระยะ  $L$  ต่างๆ



รูปที่ 10 เปรียบเทียบปริมาณความชื้นที่ระเหยออกจากแพคเบด  
ที่ระยะ  $L$  ต่างๆ เมื่อ ระยะ  $H = 0$

## สรุป

งานวิจัยทำการศึกษาผลของการจัดวางอีเล็กที่มีผลต่อการอบแห้งแบบใช้มร้อนร่วมกับสนามไฟฟ้า จากการทดลองสรุปได้ดังนี้

1. จากภาพถ่ายการไหลของลมแสดงให้เห็นว่าตำแหน่งการติดตั้งอีเล็กโตรดมีผลต่อลักษณะและตำแหน่งการหมุนของลมที่อยู่ภายใต้สนามไฟฟ้า เมื่อระยะห่างระหว่างแท่งอีเล็กโตรดและการวางดันอย่างทำให้เกิดการหมุนที่รุนแรงแต่ขนาดการหมุนเป็นวงแคบ กล่าวอีกนัยหนึ่งคือเมื่อระยะห่างมากขึ้นทำให้การหมุนมีความรุนแรงน้อยลงแต่ขนาดการหมุนเป็นวงกว้าง
2. ขนาดและตำแหน่งของการเกิดลมหมุนวนขึ้นกับตำแหน่งการติดตั้งแท่งอีเล็กโตรด กล่าวคือลมหมุนจะมีความรุนแรงและเกิดค่อนไปทางบริเวณด้านหน้าของแพคเบดเมื่ออีเล็กโตรดถูกติดตั้งบริเวณด้านหน้าของลวดกราวด์ และลมหมุนจะเกิดบริเวณกลางผิวน้ำของแพคเบดเมื่ออีเล็กโตรดถูกติดตั้งที่ตำแหน่งแนวเดียวกับลวดกราวด์ ส่วนลมหมุนจะมีขนาดและความรุนแรงน้อยลงเมื่อติดตั้งอีเล็กโตรดที่ด้านหลังของลวดกราวด์
3. อัตราความชื้นระเหยจากผิวน้ำของแพคเบดได้ริบขึ้นและความร้อนถ่ายเทากลมร้อนเข้าสู่แพคเบดได้ริบขึ้น เป็นผลอันเนื่องจากลักษณะและความแข็งแกร่งของลมหมุนวนซึ่งได้รับอิทธิพลจากแรงคูลومป์ที่กระจายตัวมากขึ้นเมื่อใช้จำนวนแท่งอีเล็กโตรดหลายแท่งหรืออิทธิพลของแรงคูลอมป์ที่มากขึ้นเมื่อกำหนดให้ระยะห่างระหว่างอีเล็กโตรด และกราวด์มีค่าน้อยลง

## 4. กิตติกรรมประกาศ

ขอขอบคุณคณะกรรมการวิจัยแห่งชาติ (วช.) และมหาวิทยาลัยธรรมศาสตร์ ที่ให้การสนับสนุนด้านทุนวิจัย

## 5. เอกสารอ้างอิง

- [1] Isobe, S., Barthakur, N., Yoshino, T., Okushima, L., and Sase, S. Electrodryodynamic drying characteristics of agar gel. *Food Sci. Technol. Res.*, 5(2), 1999, pp. 132-136.
- [2] Cao, W., Nishiyama, Y., Koide, S., and Lu, Z.H. Drying enhancement of rough rice by an electric field. *Biosys. Eng.*, 87(4), 2004, pp. 445-451.
- [3] Lai, F.C., and Sharma, R.K. EHD-enhanced drying with multiple needle electrode. *J. Electrostatics*, 63, 2005, pp. 223-237.
- [4] Chaktranond, C., and Rattanadecho, P. Analysis of Heat and Mass Transfer Enhancement in Porous Material Subjected to Electric Fields (Effects of Particle Sizes and Layered Arrangement) *Experimental Thermal and Fluid Science*, Vol. 34 (8), 2010, pp. 1049-1056.